



Статья поступала в редакцию 03.07.2014

Статья доработана 26.08.2014

УДК 53.089.68:543.51:577.3

ОПРЕДЕЛЕНИЕ МАКРО- И МИКРОЭЛЕМЕНТОВ В БИОЛОГИЧЕСКИХ СТАНДАРТНЫХ ОБРАЗЦАХ РАСТИТЕЛЬНОГО И ЖИВОТНОГО ПРОИСХОЖДЕНИЯ МЕТОДОМ МАСС-СПЕКТРОМЕТРИИ С ИНДУКТИВНО СВЯЗАННОЙ ПЛАЗМОЙ

Смирнова Е.В., Зарубина О.В.

Для десяти стандартных образцов растений и тканей рыб различного состава, созданных в национальных институтах Китая, России, Канады, Польши и Австрии, представлены установленные методом ИСП-МС содержания 56 макро- и микроэлементов. Применение прибора высокого разрешения ELEMENT 2 позволило исключить интерференции за счет использования режимов среднего и высокого разрешений, чувствительность сигналов которых достаточна для определения малых содержаний большинства элементов в пробах. Полнота вскрытия образцов обеспечивалась применением автоклавного разложения проб с помощью аналитической установки (НПВФ АНКОН-АТ). Полученные данные методом ИСП-МС, дополняющие элементную характеристику исследуемых СО, могут быть полезны в аналитической практике как опорные при проверке правильности результатов анализа биологических материалов.

Ключевые слова: стандартные образцы растений и тканей рыб, масс-спектрометрия с индуктивно связанный плазмой, многоэлементный анализ, макро- и микроэлементы.

Авторы:

СМИРНОВА Е.В.

Ведущий научный сотрудник лаборатории геохимии изотопов Института геохимии СО РАН, канд. физ.-мат. наук
Россия, 664033, г. Иркутск, ул. Фаворского, 1а
E-mail: smirn@igc.irk.ru

ЗАРУБИНА О.В.

Старший научный сотрудник лаборатории геохимии изотопов Института геохимии СО РАН, канд. геол.-минерал. наук
Россия, 664033, г. Иркутск, ул. Фаворского, 1а
E-mail: zarub@igc.irk.ru

Введение

Стандартных образцов (СО) биологических материалов в международной коллекции значительно меньше по сравнению с геостандартами (горные породы, почвы, илы, донные отложения, руды и др.), которым уделяется достаточно много внимания, к примеру, в журналах «Geostandards and geoanalytical research», в то же время данных по оценке содержания микроэлементов в СО растений и животных тканей явно недостаточно. Учитывая важность и необходимость биостандартов как средства контроля правильности получаемых результатов анализа биосред при экологических иссле-

дований окружающей среды, накопление для них новых аналитических данных представляет научный и практический интерес. Цель настоящей работы состояла в получении достоверной информации об элементном составе ряда СО биологических материалов с помощью метода масс-спектрометрии с индуктивно связанный плазмой (ИСП-МС). Это современный, эффективный, высокочувствительный метод анализа, способный одновременно определять почти все химические элементы с низкими пределами обнаружения (ПО) и широким диапазоном концентраций (до 8–9 порядков) в рамках одного измерения. Разработанный в 1980-х



Таблица 1

Краткая характеристика исследуемых стандартных образцов биологических веществ

Образец	Разработчики, страна	Характеристика СО	Количество элементов	
			аттест.	ориент.
GSV-4 (GBW07605) [3]	National Research Center for Certified Reference Materials, China	Tea powder	37	14
INCT-OBTL-5 [5]	Institute of Nuclear Chemistry and Technology (INCT), Poland	Oriental Basma tobacco leaves	34	17
INCT-PVTL-6 [5]	Institute of Nuclear Chemistry and Technology(INCT), Poland	Polish Virginia tobacco leaves	36	13
Tp-1 (8922–2007) [4]	Институт геохимии СО РАН, Россия	Травосмесь луговая	38	25
ЭК-1 (8921–2007) [4]	Институт геохимии СО РАН, Россия	Элодея канадская (водное растение)	34	30
IAEA-452 [3]	International Atomic Energy Agency (IAEA), Austria	Fish scallop	19	
DORM-2 [3]	National Research Council of Canada (NRCC)	Fish muscle powder	16	8
DOLT-4 [3]	National Research Council of Canada (NRCC)	Dogfish liver	11	11
TORT-2 [3]	National Research Council of Canada (NRCC)	Lobster hepatopancreas powder	16	17
БОк-2 (ГСО 9055–2008) [4]	Институт геохимии СО РАН, Россия	Мышечная ткань байкальского окуня	17	9

Таблица 2

Содержание главных и сопутствующих структурообразующих элементов (вес. %) для СО растительного происхождения и тканей рыб [3–5]

Образец Элемент	GSV4	PVTL6	OBTL5	Tp1	ЭК1
Фосфор (P)	0,2840	0,242	0,17	0,22	0,24
Сера (S)	0,245	0,378	0,455	0,18	0,34
Кальций (Ca)	0,43	2,297	3,996	0,67	2,8
Магний (Mg)	0,17	0,241	0,853	0,24	0,32
Калий (K)	1,66	2,64	2,271	1,38	3,22
Натрий (Na)	0,0044	0,00624	0,0435	0,075	0,68
Марганец (Mn)	0,1240	0,0136	0,018	0,00509	0,052
Хлор (Cl)		0,457	0,772	0,36	0,52
Кремний (Si)	0,21			0,55	
Железо (Fe)	0,0264	0,0258	0,149	0,097	0,26
Образец Элемент	IAEA45 2	DOLT 4	DORM 2	TORT 2	БОк 2
Фосфор (P)		1,29215*	0,79205*	1,0332*	0,95
Сера (S)			0,7957*	1,043*	1,1
Кальций (Ca)	1,13	0,0680*	0,03955*	0,3331*	0,17
Магний (Mg)	0,64	0,15*	0,1024*	0,1184*	0,103
Калий (K)	1,314	0,9800*	1,3641*	0,8065*	1,55
Натрий (Na)	4,40	0,6800*			0,28
Марганец (Mn)	0,0273	0,00186*	3,66	0,00136	0,0002
Хлор (Cl)					0,28
Кремний (Si)					
Железо (Fe)	0,102	0,1833	0,0142	0,0105	0,0054

Примечание. Курсивом отмечены ориентировочные значения.

* Данные сайта GeoREM [3].



годах специально для анализа геологических проб [1, 2], он быстро получил интенсивное развитие благодаря своим уникальным аналитическим возможностям. В настоящее время метод ИСП-МС широко и успешно применяется в экологии, биологии, медицине, сельском хозяйстве и других самых различных областях науки и производства.

Стандартные образцы сложной матрицы растений (травы, листья) и животных тканей (рыб) созданы в национальных институтах ряда стран, таких как Китай, Россия, Канада, Польша, США, Австрия и др. При анализе экологических проб пользуются широким спросом СО растительных материалов, выпущенных отдельными институтами: геофизических и геохимических исследований (Китай) [3], геохимии СО РАН (Россия) [4], ядерной химии и технологии (Польша) [5]. Среди стандартных образцов животного происхождения следует отметить СО тканей различных рыб, созданных в Канаде, Австрии, США и других странах.

Описание исследуемых стандартных образцов

В настоящей работе аналитические исследования выполнены для десяти СО биосред, представленных в табл. 1, из которой следует, что довольно большое число элементов даны лишь в ранге рекомендованных, ориентировочных или информационных значений. Аттестационные (сертифицированные) характеристики полнее представлены для растительных образцов по сравнению с СО тканей рыб, имеющих более низкие содержания ряда микроэлементов, особенно редкоземельных (РЗЭ). Содержания главных (конституционных) элементов в рассматриваемых СО согласно данным [3–5] даны в табл. 2.

Оценка средних содержаний в исследуемых СО проводилась для 56 элементов: макроэлементы (Ca, Mg, K, Na, Mn, P, S и Fe); микроэлементы, среди которых такие токсичные, как Cd, Pb, Cu, Cr, Ni, Be, B, V, As, Mo и др., следовые элементы (Nb, Ga, Ge, Bi и др.), а также все редкоземельные элементы (РЗЭ).

Инструментальная часть

Экспериментальные исследования выполняли на масс-спектрометре высокого разрешения ELEMENT 2 (Finnigan MAT, Germany), дающем возможность работы в режимах низкого – 400 (**LR**), среднего – 4000 (**MR**) или высокого – 10000 (**HR**) разрешений (**LR**, **MR** и **HR** – Low, Medium и High Resolution) с использованием предусмотренного в приборе заземляющего электрода.

Основные операционные условия составляли:

Мощность генератора	1200 Вт;
Отраженная мощность	<4 Вт
<u>Расходы газовых потоков</u>	
(аргон):	
транспортирующего	0,8–0,95 л мин ⁻¹
плазмообразующего	16 л мин ⁻¹
вспомогательного	0,9–1,2 л мин ⁻¹
Скорость подачи раствора (с подкачкой)	0,9 мл мин ⁻¹
Распылитель	Meinhard, концентрический
Распылительная камера	кварцевая с охлаждением до 3 °C
Время подвода образца	60 с
Время регистрация спектра	100–120 с
Время промывки	(3 % HNO ₃) 120–240 с
Чувствительность	1×10^6 имп. с ⁻¹ на 1 нг мл ⁻¹ In
Внутренний стандарт	Rh (2 нг мл ⁻¹)

Чувствительность сигнала ИСП-МС в режимах **MR** и **HR** уменьшается по сравнению с **LR** соответственно в ~20 и ~90 раз.

Применение **MR** и **HR** режимов разрешения способствует исключению многих проблем спектральных наложений без математической коррекции, которую необходимо применять при работе на квадрупольных ИСП-МС приборах. Так, в методике НСАМ № 512-МС [6], предназначеннной для определения элементного состава образцов растительного происхождения, где используется квадрупольный масс-спектрометр с индуктивно связанный плазмой X-7 (Thermo Electron, США), рекомендовано учитывать интерференции Cl-, C-, S-содержащих полиатомных ионов, а также оксидных и гидрооксидных ионов. В присутствии достаточных количеств этих ионов в растворе анализируемого образца необходимо увеличивать предел обнаружения (ПО) соответствующего элемента до уровня мешающего влияния. При работе на высокочувствительном приборе ELEMENT 2 многих интерференций и возможных повышений ПО можно избежать путем оптимального выбора режима масс-разрешения прибора $M / \Delta M$ для изотопов определяемого элемента.

Нами исследование основных полиатомных, изобарных и двухзарядных интерференций применительно к прибору высокого разрешения подробно проведено в работах [7, 8], где для каждого приоритетного изотопа представлено необходимое масс-разрешение прибора $M / \Delta M$, позволяющее разделить сигналы аналита и интерферента. На основании этих данных в настоящей работе выбраны изотопы с минимальными спектральными помехами при анализе биологических проб (трав



и тканей рыб) с учетом их химического состава и даны рекомендации требуемого режима разрешения прибора, представленные в табл. 3.

Окончательно при выборе оптимального режима LR, MR и/или HR принимали во внимание следующие обстоятельства:

1) для изотопов, имеющих незначительные масс-спектральные наложения (^{90}Be , ^{120}Sn , ^{232}Th и легких лантаноидов), достаточна регистрация в низком разрешении LR;

2) для многих изотопов, таких как ^{51}V , ^{52}Cr , ^{55}Mn , ^{59}Co , ^{60}Ni , ^{133}Cs , и др., применение режима MR масс-спектрометра ELEMENT 2 позволяет разделить сигналы аналита и интерферента той же массы;

3) правильное определение K, Se, As, Fe, Eu, Gd и Tb по изотопам (табл. 3) в присутствии в растворе мешающего компонента возможно только при разрешении прибора 10 000 (HR).

Изотопы макрокомпонентов (Ca, Mg, и Na) изменяются в режиме HR, что дает возможность детектировать сигнал высокой интенсивности. Таким образом, использование регистрации в HR позволяет в рамках одного измерения определять макро- и микроэлементы.

Прибор настраивали по многоэлементному раствору, приготовленному из четырех сертифицированных растворов CLMS-1-4 фирмы SPEX (США), содержащему 56 элементов от Be до U (C = 10 мкг/мл), который разбавляли раствором 3 %-ной азотной кислоты до концентрации 10 нг/мл для каждого элемента. Для расчета концентраций использовали градиуровку по сертифицированным растворам CLMS-1-4 фирмы SPEX (США) с концентрациями элементов 0,1; 1,0; 5,0 нг/мл с контролем дрейфа сигнала по внутреннему стандарту, в качестве которого выбран ^{103}Rh . Нивелирование матричного эффекта достигалось путем разбавления в 2000 раз готовых растворов проб для анализа.

Химическая пробоподготовка

Для обеспечения полноты вскрытия анализированных образцов использовали автоклавное разложение в аналитическом модуле автоклавной пробоподготовки МКП 03 («Анкон-АТ», Россия). Разложение образцов осуществляли партиями по 12–18 образцов (совместно с ними проводили разложение контрольных проб).

Навеску сухой пробы образца 0,050 г помещали в тефлоновые вкладыши, добавляли 3 мл HNO_3 , 0,4 мл HCl и 0,15 мл HF (все кислоты марки supra pure фирмы MERCK), выдерживали 12 ч при комнатной температуре, после добавляли 1,0 мл 33 % H_2O_2 . Сосуды помещали в автоклавные «бомбы» из титанового сплава и выдер-

живали при 160 °C в течение 30 мин; затем переходили в режим 180 °C в течение 60 мин. По окончании процедуры автоклавы охлаждали до комнатной температуры. Полученные растворы количественно переносили в полипропиленовые стаканы (50 мл), разбавляя деиницированной водой.

Окончательный фактор разбавления растворов проб, приготовленных для анализа, составлял 2000, кислотность – 3 % (объемн.) HNO_3 (осч, перегнанная). Внутренний стандарт Rh (разбавленный моноэлементный раствор, ICP Standard, Thermo Jarrell Ash Corp.) добавляли в готовые растворы перед анализом при конечной концентрации 2 нг/мл. Для приготовления всех растворов (промывочные, холостые, градиуровочные и анализируемые) использовали воду, очищенную с помощью аппарата Millipore-ELIX-3 (Millipore SA, Франция). Двойную и тройную перегонку кислот осуществляли последовательно в системах глубокой очистки кислот – subPUR / duo PUR Milestone microwave laboratory systems, затем в Savillex DST-1000 sub-boiling Distillation System User's Manual.

Обсуждение результатов

В табл. 3 представлены процедурные пределы обнаружения (ПО), оцененные по формуле:

$$\text{ПО} = C_{\text{контр}} + 3\sigma,$$

где $C_{\text{контр}}$ – величина среднего значения контрольного опыта;

σ – среднеквадратичное отклонение его измерения.

Растворы для контрольного опыта готовили так же, как для анализируемых проб. Очевидно, уровень ПО зависит от ряда причин: чистоты системы ввода растворов, применяемой посуды и реагентов, а также коэффициентов окончательного разведения анализируемых растворов и, конечно же, настройки и возможностей используемого масс-спектрометра. Поэтому ПО могут различаться в 2–3 и более раз даже для одного и того же прибора в разные дни измерений. В табл. 3 даны типичные (чаще наблюдаемые) пределы обнаружения. Довольно высокие значения ПО для B, Al, Ti, Fe и As могут быть связаны с химической пробоподготовкой: «зарождение» применяемой посуды и реагентов соответствующими элементами (анализ проводился при рутинных условиях без специальной очистки используемых средств измерения).

Относительную погрешность воспроизводимости ($s, \%$) оценивали по независимым повторным анализам образцов (новое разложение, другой аналитик, измерение в разные дни в течение длительного периода времени



Таблица 3

Используемые режимы разрешения (LR, MR и/или HR) для изотопов определяемых элементов и пределы обнаружения (ПО, мкг/г) при автоклавном разложении стандартных образцов растений и тканей рыб

№	Определяемый элемент	Используемый изотоп	Разрешение прибора	Пределы обнаружения	№	Определяемый элемент	Используемый изотоп	Разрешение прибора	Пределы обнаружения
1	Li	7	MR	0,41	29	Nb	93	LR	0,027
2	Be	9	LR	0,0058	30	Mo	95	LR	0,0064
3	B	11	MR	5,2	31	Ag	109	LR	0,038
4	Na	23	HR	515	32	Cd	111	LR	0,0027
5	Mg	26	HR	28	33	Sn	120	LR	0,0056
6	Al	27	MR	13	34	Sb	121	LR	0,052
7	P	31	MR	287	35	Cs	133	LR	0,0049
8	S	14	MR	34	36	Ba	135	MR	0,0009
9	K	34	HR	17	37	La	139	LR	0,23
10	Ca	44	HR	510	38	Ce	140	LR	0,011
11	Sc	45	MR	0,0059	39	Pr	141	LR	0,0092
12	Ti	47	MR	4,03	40	Nd	143	LR	0,0020
13	V	51	MR	0,046	41	Sm	149	LR	0,0100
14	Cr	52	MR	1,50	42	Eu	151	LR, HR	0,0022
15	Mn	55	MR	0,52	43	Gd	157	MR, HR	0,0013
16	Fe	56	MR, HR	35	44	Tb	159	LR, HR	0,0021
17	Co	59	MR	0,041	45	Dy	162	LR	0,0004
18	Ni	60	MR	0,79	46	Ho	165	LR	0,0022
19	Cu	63	MR	0,47	47	Er	167	LR	0,0004
20	Zn	66	MR	1,75	48	Tm	169	LR	0,0019
21	Ga	71	LR	0,040	49	Yb	171	LR	0,0003
22	Ge	74	LR	0,018	50	Lu	175	LR	0,0031
23	As	75	MR, HR	5,2	51	W	184	LR	0,0009
24	Se	77	HR	0,087	52	Tl	205	LR	0,0099
25	Rb	85	MR	0,067	53	Pb	208	MR	0,0009
26	Sr	88	MR	0,41	54	Bi	209	LR	0,090
27	Y	89	MR	0,013	55	Th	232	LR	0,0053
28	Zr	90	LR	0,10	56	U	238	MR	0,0042

и т.д.) Для различных по составу СО погрешности s_r находилась в пределах 10–20 % для элементов, содержание которых выше ПО. Для элементов, имеющих содержание в образце на пределе обнаружения, а также для трудно вскрываемых и/или трудно определяемых элементов, таких как Zr, Nb, W и др., величины s_r возрастили до 20–25 %.

В связи с отсутствием в международной коллекции биологических материалов, достаточно полно аттестованных СО, для оценки правильности нами выбран стандартный образец донного ила озера Байкал БИЛ – 1 [4], в котором диатомовая компонента составляет до 16 %. Как видно из табл. 4, результаты полученных значений $\bar{C}_{\text{исп-МС}} \pm \Delta$, где доверительней интервал ($\pm \Delta$)



Таблица 4

Аттестационные характеристики $C_{\text{ATT}} \pm \Delta$ и установленные содержания $\bar{C}_{\text{ИСП-МС}} \pm \Delta$ ($n = 8$, мкг/г) для стандартного образца состава донного ила озера Байкал БИЛ-1 (ГСО № 7126-94)

Элемент	$C_{\text{ATT}} \pm \Delta$	$\bar{C}_{\text{ИСП-МС}} \pm \Delta$	Элемент	$C_{\text{ATT}} \pm \Delta$	$\bar{C}_{\text{ИСП-МС}} \pm \Delta$
Li	37 ± 4	32 ± 4	Nb	12 ± 2	11 ± 1
Be	2,7 ± 0,4	2,30 ± 0,15	Mo	2,9 ± 0,5	3,1 ± 0,3
B	34 ± 6	30 ± 2	Sn	3,2 ± 0,5	2,9 ± 0,2
Na	14 542 ± 519	14064 ± 1078	Sb	0,95	0,8 ± 0,1
Mg	12 060 ± 422	10039 ± 802	Cs	6 ± 1	5,7 ± 0,7
Al	71 841 ± 688	73 126 ± 4930	Ba	710 ± 70	757 ± 87
P	1506 ± 65	1386 ± 27	La	45 ± 6	40 ± 8
S	1650 ± 130	1472 ± 70	Ce	80 ± 5	79 ± 10
K	18345 ± 664	15 985 ± 200	Pr	8*	8 ± 1
Ca	13222 ± 643	12 834 ± 1613	Nd	39 ± 5	39 ± 4
Sc	13 ± 2	10,4 ± 1,4	Sm	7 ± 1	6,0 ± 0,5
Ti	4137 ± 180	4049 ± 987	Eu	1,4 ± 0,2	1,3 ± 0,1
V	110 ± 10	125 ± 13	Gd	5,8*	5,5 ± 0,4
Cr	66 ± 4	71 ± 4	Tb	0,9 ± 0,1	0,9 ± 0,1
Mn	3097 ± 155	3132 ± 53	Dy	4,6*	4,7 ± 0,3
Fe	49 087 ± 1049	50153 ± 334	Ho	1*	0,97 ± 0,07
Co	18 ± 2	16 ± 1	Er	2,6*	2,7 ± 0,2
Ni	54 ± 6	51 ± 2	Tm	0,42*	0,41 ± 0,03
Cu	52 ± 7	45 ± 4	Yb	2,9 ± 0,4	2,6 ± 0,2
Zn	96 ± 14	99 ± 6	Lu	0,40 ± 0,05	0,41 ± 0,03
Ga	16 ± 2	17 ± 1	Hf	3,9 ± 0,7	3,8 ± 0,3
Ge	1,4 ± 0,2	1,3 ± 0,1	W	4,3*	4,3 ± 0,6
As	18 ± 3	18 ± 2	Tl		0,41 ± 0,04
Se	0,97*	1,13 ± 0,06	Pb	21 ± 3	18 ± 1
Rb	93 ± 5	80 ± 14	Bi		0,36 ± 0,03
Sr	266 ± 30	244 ± 27	Th	12,7 ± 1,3	12,5 ± 1,5
Y	30 ± 4	27 ± 2	U	12,0 ± 1,1	12 ± 1
Zr	156 ± 13	138 ± 13			

Примечание. Курсивом и звездочкой (*) обозначены ориентировочные значения.

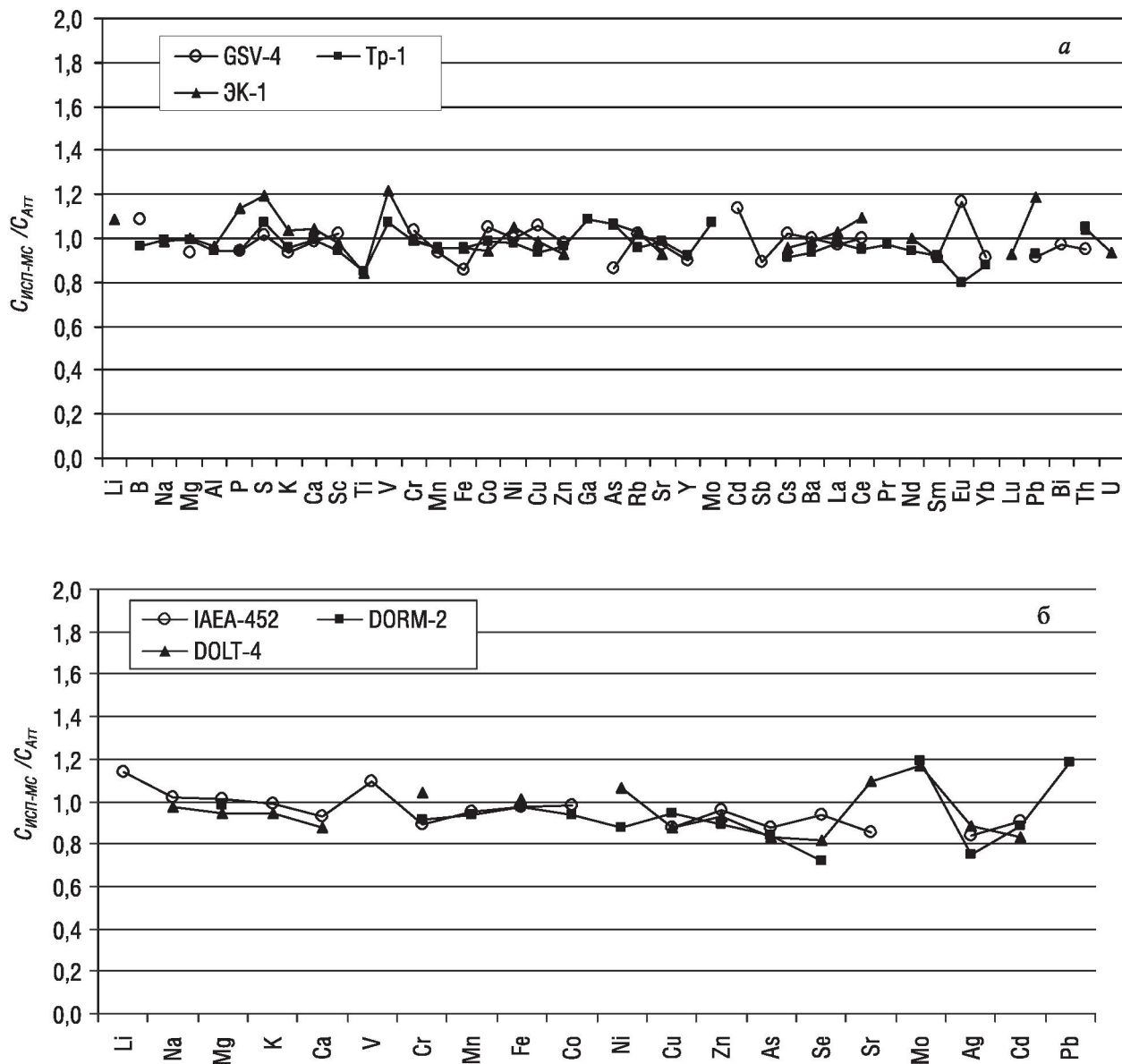


Рис. 1. Отклонение ИСП-МС результатов ($\bar{C}_{\text{ИСП-МС}}$) от аттестованных значений ($C_{\text{АТТ}}$) для стандартных образцов растений (а) и тканей рыб (б)

оценивали при $P = 0,95$, не выходят за рамки $C_{\text{АТТ}} \pm \Delta$ ($\pm \Delta$ – погрешность аттестации). Кроме того, правильность результатов анализа для отдельных элементов контролировалась по исследуемым СО, которые наиболее полно охарактеризованы (табл. 1): GSV-4 (Tea powder) [3], Тр-1 (элодея канадская) и ЭК-1 (травосмесь луговая) [4]. На рис. 1 для СО растений (рис. 1а) тканей рыб (рис. 1б) представлены отношения $\bar{C}_{\text{ИСП-МС}} / C_{\text{АТТ}}$, где $\bar{C}_{\text{ИСП-МС}}$ – найденные средние содержания (табл. 5, 6), $C_{\text{АТТ}}$ – аттестованные значения [3, 4, 5]. В целом эти

отношения для всех используемых образцов находятся в пределах $1 \pm 0,2$ (расхождения не более 20 %).

Для редкоземельных элементов дополнительным показателем правильности анализа могут служить нормализованные кривые распределения. Для биологических материалов нормализация обычно выполняется на состав РЗЭ в североамериканском сланце (NASC) или постархейском сланце (PAAS) [9, 10]. Отношения содержаний (проба/NASC или PAAS) в большинстве случаев имеют плавные распределения РЗЭ от La до Lu,

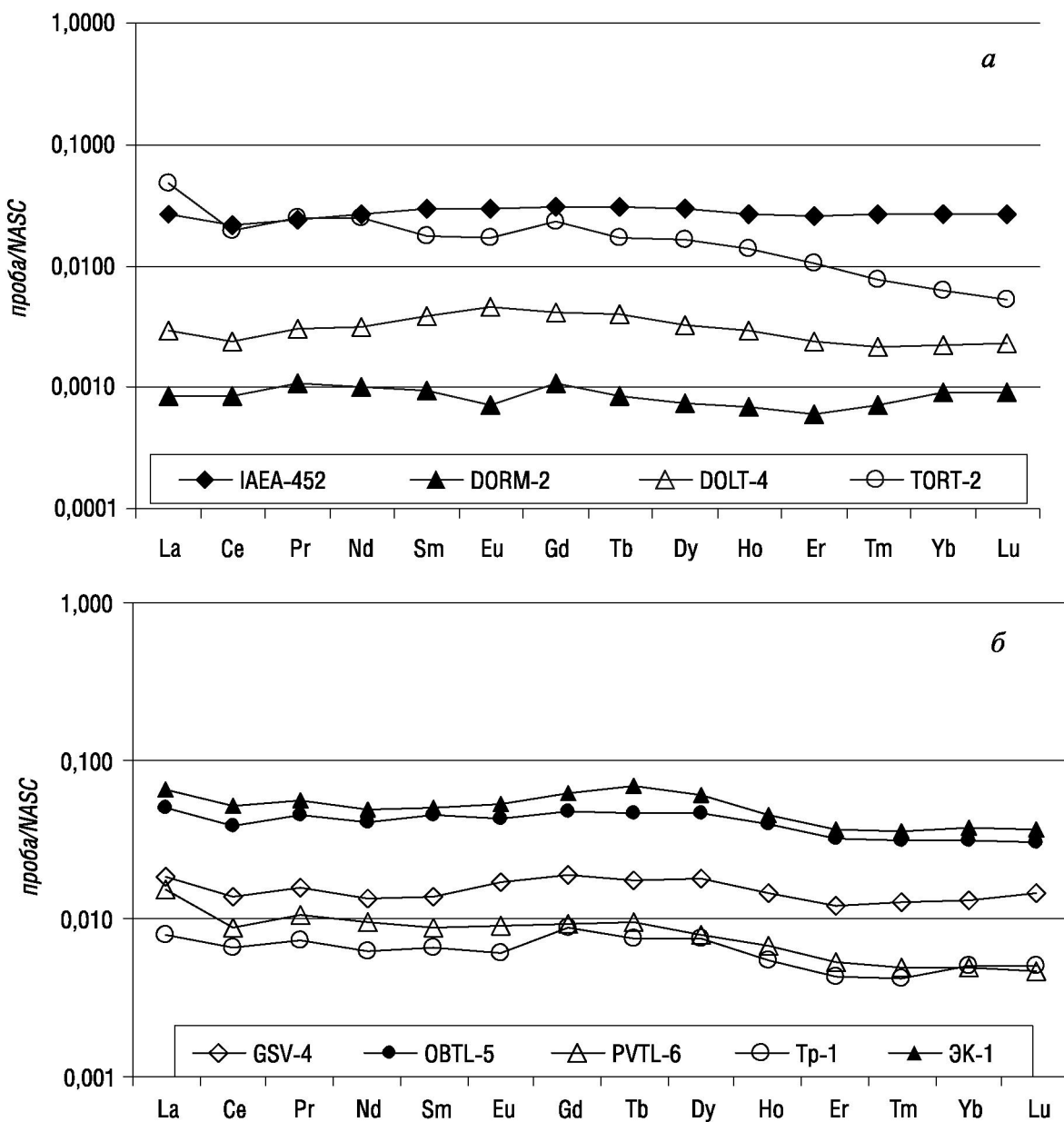


Рис. 2. Нормализованные по NASC [9, 10] распределения РЗЭ в СО:
 а) IAEA-452, DORM-2, DOLT-4, TORT-2; б) GSV-4, OBTL-5, PVTL-6, Тр-1, ЭК-1 для установленных ИСП-МС содержаний

за исключением возможных аномалий по Eu (иногда Ce). На рис. 2 представлены распределения редкоземельных элементов, нормированные к североамериканскому сланцу NASC, из которых видно, что полученные ИСП-МС данные дают плавные кривые распределения РЗЭ.

Исследуемые стандартные образцы анализировались нами в течение пяти лет одновременно с биологическими пробами, поступающими в лабораторию для анализа. Накопленные и статистически обработанные за этот

период данные для 56 элементов в 10 исследуемых СО представлены в табл. 5, 6, где $\bar{C}_{\text{исп-МС}}$ – установленные средние содержания по n независимым измерениям с доверительными интервалами $\pm \Delta$ ($P = 0,95$). Здесь же даны аттестованные значения с погрешностью аттестации ($C_{\text{атт}} \pm \Delta$) и рекомендованные, ориентировочные или информационные характеристики. При $n \leq 2$ доверительный интервал не оценивался: соответствующие значения $\bar{C}_{\text{исп-МС}}$ даны курсивом.



Таблица 5

Установленные средние содержания $\bar{C}_{\text{ИСП-МС}}$ (мкг/г) и аттестационные характеристики C_{ATT} для пяти стандартных образцов растений

Эл- емен- ты	GSV-4, порошок чая (n = 5-7)		OBTL-5, листья табака сорт (Basma) (n = 5-11)		PVTL-6, листья табака (сорт Virginia) (n = 10-15)		Tp-1, травосмесь луговая (n = 15-18)		ЭК-1, элодия канадская (водное растение) (n =5-9)	
	$C_{\text{ATT}} \pm \Delta$	$\bar{C}_{\text{ИСП-МС}} \pm \Delta$	$C_{\text{ATT}} \pm \Delta$	$\bar{C}_{\text{ИСП-МС}} \pm \Delta$	$C_{\text{ATT}} \pm \Delta$	$\bar{C}_{\text{ИСП-МС}} \pm \Delta$	$C_{\text{ATT}} \pm \Delta$	$\bar{C}_{\text{ИСП-МС}} \pm \Delta$	$C_{\text{ATT}} \pm \Delta$	$\bar{C}_{\text{ИСП-МС}} \pm \Delta$
Li	0,36*	0,42±0,06	19,3*	27±2	3,35±0,07	3,72±0,32	0,55*	0,61±0,05	1,44±0,18	1,56±0,16
Be	0,034±0,005	0,024±0,006	0,0812*	0,09±0,01		0,022±0,001	0,014*	0,012±0,001	0,07*	0,07±0,01
B	14,8±3,0	16,1 ±1,3	33,6 ±2,2	37,4 ±1,7	33,4 ±1,9	36,6 ±2,4	11,2 ±1,2	11±1		31,9±4,4
Na	5,0*	<П0	435*	<П0	62,4*	<П0	750±60	743±88	6900±500	6823±328
Mg	1700±100	1595±101	8530±340	9134±263	2410±90	2485±108	2400±200	2377±181	3200±200	3209±223
Al	3000*	2238±143	1980±280	1893±289	252±49	247±50	370±50	349±45	990±120	955±89
P	2840±60	2671±325	1700±120	2025±216	2420±150	2512±129	2200±100	2077±170	2400±300	2733±255
S	2450±150	2478±143	4550±910	4588±65	3780±590	3584±14	1800±200	1931±47	3400±500	4054±506
K	16 600±600	15 548±2047	22 710±760	22882±490	26400±900	25737±977	13 800±300	13 192±1068	32 200±1600	33 286±3104
Ca	4300±200	4250±242	39960±1420	42199±3895	22970±780	23561±1481	6700±300	6661±577	28 000±1700	29 255±2398
Sc	0,085±0,009	0,09±0,01	0,64±0,027	0,59±0,02	0,0595±0,0034	0,05±0,01	0,082±0,0080	0,08±0,01	0,38±0,02	0,37±0,06
Ti	24±9,0	<П0	80,7*	106±5	12,3*	10,4±0,5	33,3±5,3	28,2 ±2,9	77±14	65±9
V	0,86*	0,41±0,03	4,12±0,55	4,2±0,3	0,405±0,056	0,35±0,05	0,61±0,09	0,66±0,06	3,4±0,4	4,1±0,4
Cr	0,80±0,02	0,83±0,07	6,3*	5,07±0,44	0,911*	<П0	5,5±0,4	5,4±0,5	5,1±0,5	5,05±0,45
Mn	1240±40	1155±64	180±6	177±6	136±5	131±4	50,9 ±2,1	48,7 ±2,9	520±30	499±28
Fe	264±10	242±12	1490*	1533±89	258*	255±19	970±50	927±43	2600±100	2482±198
Co	0,18±0,02	0,19±0,01	0,981±0,067	0,89±0,05	0,154±0,007	0,14±0,01	0,22±0,02	0,22±0,01	1,5±0,1	1,41±0,08
Ni	4,6±0,3	4,6±0,2	8,5±0,49	7,95±0,39	1,49±0,14	1,19±0,19	3,2±0,3	3,13±0,23	3,7±0,4	3,9±0,2
Cu	17,3±1,0	18,3 ±2,4	10,1±0,4	9,6±0,5	5,12±0,2	4,72±0,30	6,3±0,6	5,91±0,21	11,2±0,4	11,0±0,6
Zn	26,3±0,9	25,7 ±2,2	52,4 ±1,8	53,6±3,5	43,6 ±1,4	43,3±3,0	23,6 ±1,1	22,8 ±2,4	20,6 ±1,4	19,1 ±1,4
Ga		0,31±0,02		0,64±0,05		0,17 ±0,02	0,16±0,02	0,17±0,01	0,4*	0,50±0,06
Ge		0,025±0,004		0,06±0,01		0,02±0,01	0,04*	0,040±0,005	0,07*	0,08±0,01
As	0,28±0,03	0,24±0,04	0,668±0,086	0,78±0,03	0,138±0,01	0,13±0,02	0,16±0,02	0,17±0,01	0,76±0,02	0,81±0,11
Se	0,072	0,07±0,01		0,06±0,03		0,07±0,04		0,04±0,01	0,3*	0,25±0,04
Rb	74±4	76±3	19,1 ±1,0	18,1 ±1,1	5,97±0,28	5,6±0,4	15,7 ±0,4	15,0 ±1,1	3,5±0,3	3,6±0,2
Sr	15,2±0,5	14,8±0,3	105±5	102±6	133±6	122±8	28±0,9	27±1	174±9	162±9
Y	0,36±0,03	0,32±0,02	0,963*	0,99±0,06	0,218*	0,20±0,03	0,16±0,02	0,15±0,01	1,3*	1,3±0,1
Zr		0,18±0,03		0,56±0,05		<П0	0,9*	0,75±0,18	2,6*	1,7±0,3
Nb		0,03±0,01		0,24±0,02		<П0	0,082*	0,05±0,01		0,18±0,03
Mo	0,038±0,006	<П0	0,414±0,062	0,41±0,02	0,396±0,029	0,44±0,02	0,25±0,02	0,27±0,04	1,2*	1,2±0,1
Ag	0,018*	<П0	0,053±0,011	0,06±0,01	0,0191±0,0038	0,02±0,01		0,007±0,001		0,024±0,004
Cd	0,057±0,008	0,07±0,01	2,64±0,14	2,79±0,17	2,23±0,12	2,29±0,17	0,051*	0,05±0,01	0,10*	0,11±0,01
Sn		<П0		0,15±0,03	0,0311*	<П0	0,09*	0,07±0,01	0,26*	0,12±0,02
Sb	0,056±0,005	0,05±0,01	0,076±0,013	0,07±0,01	0,0372±0,0039	0,030±0,004	0,019*	0,015±0,002	0,08*	0,07±0,01
Cs	0,29±0,02	0,297±0,003	0,288±0,002	0,29±0,01	0,0266*	0,020±0,003	0,058±0,008	0,05±0,01	0,108±0,008	0,10±0,01
Ba	58±3	58±2	67,4±3,8	66,6±4,8	41,6 ±1,9	40,9 ±2,0	16,1 ±1,2	15,0 ±1,1	78±7	77±6
La	0,6±0,03	0,58±0,05	1,69±0,09	1,61±0,04	0,54±0,03	0,48±0,04	0,26±0,09	0,25±0,02	2,05±0,14	2,10±0,28
Ce	1,0±0,1	1,00±0,15	2,99±0,18	2,85±0,13	0,74±0,05	0,63±0,07	0,50±0,05	0,47±0,09	3,4±0,3	3,7±0,7
Pr	0,12*	0,12±0,02	0,321*	0,35±0,01	0,0829*	0,080±0,003	0,06±0,009	0,06±0,01	0,42*	0,44±0,07
Nd	0,44*	0,44±0,05	1,33±0,11	1,36±0,03	0,322±0,024	0,31±0,05	0,22±0,02	0,21±0,03	1,59±0,17	1,59±0,28
Sm	0,085±0,017	0,08±0,01	0,264±0,013	0,26±0,01	0,0580±0,0043	0,049±0,005	0,041±0,003	0,04±0,01	0,31±0,03	0,28±0,04
Eu	0,018±0,002	0,021	0,060±0,004	0,05±0,01	0,0140±0,0026	0,011±0,002	0,0095±0,0014	0,008±0,001	0,047±0,008	0,07±0,02
Gd	0,093*	0,098±0,01	0,243*	0,25±0,02		0,05±0,01	0,05*	0,05±0,01	0,35*	0,32±0,06



Окончание таблицы 5

Эле- мен- ты	GSV-4, порошок чая (n = 5-7)		OBTL-5, листья табака сорт (Basma) (n = 5-11)		PVTL-6, листья табака (сорт Virginia) (n = 10-15)		Tp-1, травосмесь луговая (n = 15-18)		ЭК-1, элодея канадская (водное растение) (n = 5-9)	
	$C_{\text{АТ}} \pm \Delta$	$\bar{C}_{\text{ИСП-МС}} \pm \Delta$	$C_{\text{АТ}} \pm \Delta$	$\bar{C}_{\text{ИСП-МС}} \pm \Delta$	$C_{\text{АТ}} \pm \Delta$	$\bar{C}_{\text{ИСП-МС}} \pm \Delta$	$C_{\text{АТ}} \pm \Delta$	$\bar{C}_{\text{ИСП-МС}} \pm \Delta$	$C_{\text{АТ}} \pm \Delta$	$\bar{C}_{\text{ИСП-МС}} \pm \Delta$
Tb	0,011*	0,012	0,035 ± 0,002	0,040 ± 0,002	0,0081 ± 0,001	0,008 ± 0,001	0,01*	0,0063 ± 0,001	0,041 ± 0,005	0,054 ± 0,013
Dy	0,074*	0,09 ± 0,02	0,184*	0,24 ± 0,01		0,04 ± 0,01	0,04*	0,04 ± 0,01	0,36*	0,32 ± 0,06
Ho	0,019*	0,015 ± 0,003	0,0345*	0,040 ± 0,003		0,010 ± 0,001	0,007*	0,006 ± 0,001	0,047	0,05 ± 0,01
Er		0,041 ± 0,004	0,101 ± 0,006	0,11 ± 0,01	0,0185 ± 0,0032	0,018 ± 0,004	0,017*	0,015 ± 0,002	0,13*	0,13 ± 0,02
Tm		0,006 ± 0,002	0,0136*	0,020 ± 0,002		0,002 ± 0,001	0,003*	0,002 ± 0,0003	0,021*	0,02 ± 0,003
Yb	0,044 ± 0,004	0,040 ± 0,001	0,115 ± 0,002	0,10 ± 0,01	0,0283*	0,015 ± 0,004	0,018 ± 0,002	0,016 ± 0,003	0,074 ± 0,006	0,12 ± 0,03
Lu	0,007*	0,007 ± 0,001	0,0167*	0,010 ± 0,002		0,002 ± 0,001	0,0029*	0,0024 ± 0,0004	0,019 ± 0,003	0,020 ± 0,003
W		0,03 ± 0,01		0,06 ± 0,02		<П0	0,08*	0,07 ± 0,01		0,18 ± 0,03
Tl		0,027	0,0513*	0,05 ± 0,01	0,0228*	0,024 ± 0,001	0,011*	<П0	0,02*	0,017 ± 0,001
Pb	4,4 ± 0,2	4,0 ± 0,3	2,01 ± 0,31	1,93 ± 0,15	0,972 ± 0,147	<П0	0,42 ± 0,06	0,39 ± 0,04	1,1*	1,3 ± 0,2
Bi	0,063 ± 0,007	0,06 ± 0,01		0,08 ± 0,01	0,14*	0,14 ± 0,01		<П0	0,023*	0,020 ± 0,004
Th	0,061 ± 0,008	0,06 ± 0,01	0,503 ± 0,043	0,47 ± 0,04	0,0888 ± 0,0068	0,07 ± 0,01	0,055 ± 0,005	0,058 ± 0,03	0,40 ± 0,03	0,42 ± 0,06
U		0,017 ± 0,003	0,113*	0,09 ± 0,01	0,022*	0,015 ± 0,005	0,017*	0,015 ± 0,02	1,4 ± 0,1	1,3 ± 0,1

Примечание. Курсивом и звездочкой (*) обозначены информационные, рекомендованные, ориентировочные значения $C_{\text{АТ}}$, курсивом – ориентировочные значения $\bar{C}_{\text{ИСП-МС}}$.

Таблица 6

Установленные ИСП-МС содержания (мкг/г) и аттестационные характеристики для пяти стандартных образцов тканей рыб

Эле- мен- ты	IAEA-452 fish scallop (n = 2-4)		DORM-2 fish muscle powder (n = 5-7)		DOLT-4 dogfish liver (n = 2-4)		TORT-2 lobster hepatopan- creas powder (n = 2-4)		Б0к-2 (ГСО 9055-2008) мы- шечная ткань байкальского окуня (n = 3-15)	
	$C_{\text{АТ}} \pm \Delta$	$\bar{C}_{\text{ИСП-МС}} \pm \Delta$	$C_{\text{АТ}} \pm \Delta$	$\bar{C}_{\text{ИСП-МС}} \pm \Delta$	$C_{\text{АТ}} \pm \Delta$	$\bar{C}_{\text{ИСП-МС}} \pm \Delta$	$C_{\text{АТ}} \pm \Delta$	$\bar{C}_{\text{ИСП-МС}} \pm \Delta$	$C_{\text{АТ}} \pm \Delta$	$\bar{C}_{\text{ИСП-МС}} \pm \Delta$
Li	2,01 ± 0,25	2,28 ± 0,24	0,25*	<П0		0,12 ± 0,02		0,26 ± 0,04		<П0
Be		0,063 ± 0,007		0,007 ± 0,003		0,006 ± 0,002		0,008 ± 0,002		<П0
B		34 ± 5		<П0		<П0		1,5		<П0
Na	43 960 ± 5990	44 646 ± 1740		4752 ± 315	6800*	6639 ± 525		12 490 ± 318	2800 ± 100	2457 ± 131
Mg	6380 ± 800	6452 ± 297	1024*	1002 ± 71	1500*	1415 ± 111		1117	1030 ± 120	1004 ± 63
Al	1150*	1237 ± 29	10,9 ± 1,7	11,9 ± 2,7	200*	279 ± 24		34		31,0 ± 4,1
P		6910 ± 616	10 112*	9085 ± 957	11 126*	11 493 ± 358		9660 ± 89	9500 ± 500	8390 ± 679
S		<П0	7957*	8660 ± 2597		24 837 ± 1631		18 715 ± 880	11 000 ± 2000	9922 ± 795
K	13 140 ± 1640	12 980 ± 1150	14 881*	14 628 ± 684	9800*	9286 ± 396		8583 ± 537	15 500 ± 800	14002 ± 1312
Ca	11 300 ± 1400	10 529 ± 489	485*	506 ± 58	680*	595 ± 115		4053 ± 118	1700 ± 300	1823 ± 105
Sc		0,26 ± 0,02		<П0		0,05 ± 0,01		0,0068	0,006 ± 0,001*	<П0
Ti		60 ± 5		<П0		<П0		<П0		4,4 ± 0,6
V	6,36 ± 0,79	6,94 ± 0,43		0,14 ± 0,02	0,6*	0,79 ± 0,11	1,64 ± 0,19	1,59 ± 0,01		0,052 ± 0,005
Cr	5,2*	4,6	34,7 ± 5,5	31,58 ± 3,8	1,4*	1,46 ± 0,04	0,77 ± 0,15	<П0	0,8*	<П0
Mn	273 ± 34	261 ± 15	3,66 ± 0,34	3,42 ± 0,27	18-19,2*	11,38 ± 0,88	13,6 ± 1,2	13,7 ± 0,2	1,7 ± 0,3	<П0
Fe	1020 ± 130	995 ± 78	142 ± 10	138 ± 6	1833 ± 75	1854 ± 50	105 ± 13	111 ± 2	54 ± 11	43,6 ± 3,9
Co	1,62 ± 0,2	1,59 ± 0,19	0,182 ± 0,31	0,17 ± 0,02	0,25*	0,23 ± 0,02	0,51 ± 0,09	0,49	0,06*	<П0
Ni		4,08 ± 0,62	19,4 ± 3,1	17,02 ± 2,2	0,97 ± 0,11	1,03 ± 0,09	2,5 ± 0,19	2,40 ± 0,25	0,5*	<П0
Cu	10,8 ± 1,3	9,45 ± 0,26	2,34 ± 0,16	2,21 ± 0,27	31,2 ± 1,1	27,34 ± 0,52	106 ± 10	86	1,9 ± 0,3	1,6 ± 0,2



Окончание таблицы 6

Эле- мен- ты	IAEA-452 fish scallop (n = 2-4)		DORM-2 fish muscle powder (n = 5-7)		DOLT-4 dogfish liver (n = 2-4)		TORT-2 lobster hepatopan- creas powder (n = 2-4)		БОк-2 (ГСО 9055-2008) мы- шечная ткань байкальского окуня (n = 3-15)	
	C _{ATT} ± Δ	С _{ИСП-МС} ± Δ	C _{ATT} ± Δ	С _{ИСП-МС} ± Δ	C _{ATT} ± Δ	С _{ИСП-МС} ± Δ	C _{ATT} ± Δ	С _{ИСП-МС} ± Δ	C _{ATT} ± Δ	С _{ИСП-МС} ± Δ
Zn	166 ± 21	159 ± 7	25,6 ± 2,3	22,8 ± 2,7	116 ± 6	107,53 ± 6,56	180 ± 6	165 ± 9	23 ± 2	20 ± 1
Ga		0,56 ± 0,03		0,16 ± 0,05		0,31 ± 0,01		0,23 ± 0,01		0,18 ± 0,02
Ge		0,07 ± 0,01		0,009 ± 0,003		0,046 ± 0,003		0,024 ± 0,001		<П0
As	17,5 ± 2,2	15,3 ± 0,9	18 ± 1,1	15 ± 3	9,66 ± 0,62	8,02 ± 0,57	21,6 ± 1,8	17,5 ± 0,9	0,25 ± 0,05	0,30 ± 0,06
Se	6,55 ± 0,82	6,12 ± 0,35	1,40 ± 0,09	1,00 ± 0,41	8,3 ± 1,3	6,80 ± 0,39	5,63 ± 0,67	4,54 ± 0,26	0,9*	0,86 ± 0,07
Rb	7,85 ± 0,98	7,20 ± 0,29		5,7 ± 0,3		3,2 ± 0,1		2,4 ± 0,1	22 ± 1	21 ± 2
Sr	82,9 ± 10,3	70,9 ± 5,1	1,66*	2,3 ± 0,2	5,5*	6,0 ± 0,1	45,2 ± 1,9	43,5 ± 0,4	2,8 ± 0,3	2,8 ± 0,2
Y		0,57 ± 0,04		0,02		0,066 ± 0,005		0,49 ± 0,03		0,013 ± 0,001
Zr		1,60 ± 0,39		0,29		0,18 ± 0,04		0,14 ± 0,02		0,05 ± 0,02
Nb		0,25		0,11						0,014 ± 0,005
Mo		11,6 ± 0,4	0,28*	0,33 ± 0,06	1,0*	1,17 ± 0,03	0,95 ± 0,1	1,05 ± 0,02		0,03 ± 0,01
Ag	11,8 ± 1,5	9,94 ± 1,14	0,041 ± 0,013	0,029 ± 0,013	0,93 ± 0,07	0,82		4,95 ± 0,07		0,004 ± 0,002
Cd	29,6 ± 3,7	26,8 ± 0,6	0,043 ± 0,008	0,038 ± 0,003	24,3 ± 0,8	20,17 ± 0,16	26,7 ± 0,6	22,4	0,010 ± 0,001	<П0
Sn		0,22 ± 0,07	0,023*	0,28 ± 0,05	0,17*	0,75 ± 0,71	0,04*	<П0		0,068 ± 0,017
Sb	0,1 ± 0,013	0,134 ± 0,005		0,029 ± 0,004		0,03 ± 0,0004 34 ± 0,004		0,030 ± 0,001	0,31 ± 0,1*	0,31 ± 0,1
Cs	0,23*	0,25 ± 0,01		0,26 ± 0,02		0,104 ± 0,004		0,02	0,08 ± 0,02	0,083 ± 0,009
Ba		8,18 ± 0,27		2,89 ± 0,45		1,84 ± 0,85		1,72		0,78 ± 0,15
La		0,86 ± 0,07		<П0		0,09 ± 0,03		1,52		0,03 ± 0,01
Ce	2,66*	1,57 ± 0,10		<П0		0,18		1,41		0,04 ± 0,01
Pr		0,19 ± 0,02		<П0		0,024		0,19		0,006 ± 0,003
Nd		0,89 ± 0,05		<П0		0,103		0,83		0,015 ± 0,005
Sm		0,17 ± 0,01		<П0		0,022		0,10		0,003 ± 0,001
Eu		0,037 ± 0,002		<П0		0,0057		0,02		<П0
Gd		0,16 ± 0,01		<П0		0,022		0,12		<П0
Tb		0,026 ± 0,001		<П0		0,0034		0,01		<П0
Dy		0,15 ± 0,01		<П0		0,0170		0,09		<П0
Ho		0,028 ± 0,002		<П0		0,003		0,01		<П0
Er		0,089 ± 0,007		<П0		0,01		0,04		<П0
Tm		0,013 ± 0,001		<П0		0,0011		0,004		<П0
Yb		0,082 ± 0,008		<П0		0,0068		0,02		<П0
Lu		0,013 ± 0,001		<П0		0,0011		0,003		<П0
W		0,56 ± 0,01		<П0		0,19 ± 0,03		0,011		<П0
Tl		0,023 ± 0,001	0,004*	0,004 ± 0,001		0,0177 ± 0,0004		0,011		<П0
Pb		2,37 ± 0,26	0,065 ± 0,007	<П0	0,16 ± 0,04	0,21	0,35 ± 0,13	0,41 ± 0,05	0,37 ± 0,14*	<П0
Bi		0,068 ± 0,005		<П0		0,021 ± 0,001		0,013		<П0
Th		0,45 ± 0,03		<П0		0,014 ± 0,001		0,0086		<П0
U		0,62 ± 0,04				0,066 ± 0,003		0,067		<П0

Примечание. Курсивом и звездочкой (*) обозначены информационные, рекомендованные, ориентировочные значения, курсивом – ориентировочные значения С_{ИСП-МС}.



Не представлены содержания меньше типичных пределов обнаружения ПО – это в основном касается следовых содержаний элементов, в частности редкоземельных. Для возможности их определения, очевидно, необходимо уменьшать пределы обнаружения за счет использования известных приемов их снижения [7]. В целом результаты анализа хорошо сходятся с аттестованными значениями (не выходят за границы $\pm\Delta$).

Правильность полученных результатов анализа обеспечена следующими факторами:

- 1) использованием высокочувствительного прибора ELEMENT 2 с регистрацией в трех режимах масс разрешения;
- 2) минимизацией интерференций в среднем и высоком режимах разрешения;
- 3) оптимизацией условий анализа;
- 4) достижением полноты вскрытия образцов с помощью автоклавного разложения.

Заключение

Метод ИСП-МС с использованием прибора высокого разрешения ELEMENT 2 и регистрацией сигнала

в режимах низкого, среднего и высокого разрешений позволил получить достоверные значения содержания для 7 макро- и 49 микроэлементов в биологических стандартных образцах растительного и животного происхождения Китая, России, Канады, Польши и Австрии. Для обеспечения полноты вскрытия анализированных образцов использовано автоклавное разложение в аналитическом модуле автоклавной пробоподготовки МКП 03 («Анкон-АТ», Россия). Установленные содержания (с доверительными интервалами), представленные в табл. 5, 6, согласуются с данными аттестации, что также показано на рис. 1. Полученные данные могут быть полезны для разработчиков СО и при аналитическом применении для градуирования и проверки правильности.

Благодарности

Авторы выражают благодарность В.И. Ложкину, И.Н. Мысовской, Н.Н. Пахомовой, А.Ю. Митрофановой и М.Д. Седуновой за помощь при экспериментальных исследованиях и ряд конструктивных замечаний при подготовке статьи к печати.

ЛИТЕРАТУРА

1. Музгин В.Н., Емельянова Н.Н., Пупышев А.А. Масс-спектрометрия с индуктивно связанный плазмой – новый метод в аналитической химии // Аналитика и контроль. 1998. № 3–4. С. 3–25.
2. Linge K.L., Jarvis K.E. “Quadrupole ICP-MS: Introduction to instrumentation measurement techniques and analytical capabilities.” *Geostand. Geoanal. Research.* 2009. V. 33. № 4. P. 445–467,
3. Каталог геологических стандартных образцов и природных сред (GeoREM) [Электронный ресурс]. URL: http://geomrmpch-mainz.gwdg.de/sample_query.asp (дата обращения: 03.07.2014).
4. Каталог стандартных образцов состава природных и техногенных сред ИГХ СО РАН [Электронный ресурс] // ФГБУН Институт геохимии им. А.П. Виноградова СО РАН._URL: <http://www.igc.irk.ru/Innovation/Standarts-obr/Catalog-2013.pdf> (дата обращения: 01.03.2014).
5. “Two New ReferenceMaterials Based on Tobacco Leaves: Certification for over a Dozen of Toxic and Essential Elements” / Zbigniew Samczynski [et al.]. *The Scientific World Journal.* 2012, Article ID 216380, 16 p. [Электронный ресурс]. URL: <http://www.hindawi.com/journals/tswj/2012/216380/> (дата обращения: 01.03.2014).
6. Определение элементного состава образцов растительного происхождения (травы, листья) атомно-эмиссионным и масс-спектральными методами анализа. НСАМ № 512-МС. М., 2011. 43 с.
7. Мысовская И.Н., Смирнова Е.В., Ложкин В.И. Интерференции полиатомных и двухзарядных ионов при многоэлементном анализе геологических проб методом масс-спектрометрии с индуктивно связанный плазмой и их минимизация с помощью прибора высокого разрешения // Масс-спектрометрия. 2011. Т. 8. № 4. С. 242–258.
8. “Determination of REE, Y, Nb, Zr, Hf, Ta, Th and U in Geological RMs, LSHC-1 and Amf-1, by Solution and Laser Ablation ICP-MS” / E.V. Smirnova [et. al.]. *Geostand. Geoanal. Research.* 2010. V. 34. №1. P. 49–65,
9. Дубинин А.В. Геохимия редкоземельных элементов в океане. М.: Наука, 2006. 360 с.
10. “The ‘North American shale composite’: Its complication, major and trace element characteristics” / L.P.Gromet [et al.]. *Geochim. Cosmochim. Acta.* 1984. V. 48. № 12. P. 2469–2482.



DETERMINATION OF MAJOR AND TRACE ELEMENTS IN BIOLOGICA CERTIFIED REFERENCE MATERIALS OF PLANT AND ANIMAL ORIGIN BY INDUCTIVELY COUPLED MASS-SPECTROMETRY

E.V. Smirnova, O.V. Zarubina

Abundances of 56 major and trace elements have been determined by ICP-MS for ten reference materials of different composition plants and fish tissues created at the National Institutes of China, Russia, Canada, Poland and Austria. Application of high-resolution instrument ELEMENT 2 allowed any interference to be excluded using the modes of medium and high resolution, sensitivity signal which is sufficient for measuring small and ultra abundances of most analytes in study samples. Real detection limits of determined elements were obtained by ICP-MS routine analysis with the autoclave preparation of samples. The obtained $\bar{C}_{\text{ICP-MS}}$ data, complementing the elemental characteristics of RMs may be employed as the indicative values when analyzing biological materials.

Keywords: plants and fish tissues reference materials, inductively coupled plasma mass-spectrometry, multielement analysis, major and trace elements.

Authors:

E.V. Smirnova

Isotope Geochemistry Laboratory, Geochemistry Institute, SB RAS
ulitsa Favorskogo, 1a
Irkutsk, 664033, Russia
E-mail: smirn@igc.irk.ru

O.V. Zarubina

Isotope Geochemistry Laboratory, Geochemistry Institute, SB RAS
ulitsa Favorskogo, 1a
Irkutsk, 664033, Russia
E-mail: zarub@igc.irk.ru
